

ОБЪЕДИНЕННЫЙ  
ИНСТИТУТ  
ЯДЕРНЫХ  
ИССЛЕДОВАНИЙ  
ДУБНА



P1 - 9286

К.Д.Толстов

НЕУПРУГИЕ ВЗАИМОДЕЙСТВИЯ  
РЕЛЯТИВИСТСКИХ ДЕЙТРОНОВ И  $\alpha$ -ЧАСТИЦ  
С ЯДРАМИ

1975

P1 - 9286

К.Д.Толстов

НЕУПРУГИЕ ВЗАИМОДЕЙСТВИЯ  
РЕЛЯТИВИСТСКИХ ДЕЙТРОНОВ И  $\alpha$ -ЧАСТИЦ  
С ЯДРАМИ

Дано на IV Международном семинаре по проблемам  
физики высоких энергий, Дубна, 5-11 июня 1975 года.

В настоящей работе изложены основные результаты, полученные Лабораторией высоких энергий ОИЯИ совместно с лабораториями Варшавы, Еревана, Кошице, Ленинграда, Москвы, Ташкента, Улан-Батора при исследовании взаимодействий релятивистских дейtronов и  $\alpha$ -частиц с ядрами /1-10/.<sup>11,12/</sup>

Исследования начались с пионерских работ ЛВЭ<sup>11,12/</sup>, когда в 1970 г. на синхрофазотроне были получены дейтрыоны с импульсом 11 ГэВ/с. Данное сообщение содержит следующие разделы:

1. Сечения неупругих взаимодействий.
2. Стриппинг дейтров и фрагментация  $\alpha$ -частиц.
3. Генерация частиц на группах ядер (C,N,O) и (Ag,Br).
4. Распад ядер C,N,O и Ag, Br.
5. Полное разрушение ядер Ag, Br и Pb.

В исследованиях применялись ядерные фотоэмulsionии. Целесообразность этого метода в настоящих исследованиях обусловлена тем, что при столкновениях релятивистских ядер мы имеем дело с большим числом генерированных частиц и частиц от распада ядер мишени с широким спектром по энергии, массам и зарядам. Использовались фотоэмulsionии БР-2, а также БР-2, наполненные легкими ядрами и ядрами свинца по разработанной в ЛВЭ технологий.

В табл. 1 приведены ядерный состав фотоэмulsionий, коэффициент "К", показывающий увеличение объема при наполнении фотоэмulsionии БР-2 легкими ядрами, и средний пробег неупрого взаимодействия.

Применение фотоэмulsionий с различным составом ядер и процедуры вычитания позволило разделить взаимодействия на группе легких ядер C,N,O и ядрах Ag, Br.

Таблица 1

Фотоэмulsionия и наполнитель	коэффиц. увеллич. объема	Число ядер в 1 см <sup>3</sup> .10 <sup>22</sup>						Первичн частица	Средний пробег
		H	C	N	O	Br	Ag		
I БР-2	I	3,15	1,41	0,396	0,965	1,031	1,036	d	$26,9 \pm 0,6$
								d	$19,5 \pm 0,3$
II БР-2 + этилен-гликоль (CH <sub>2</sub> OH)	2,75	5,31	1,90	0,140	1,74	0,36	0,362	d	$39,6 \pm 2$
II БР-2 + 50% раствор глюкозы (C <sub>6</sub> H <sub>12</sub> O <sub>6</sub> )	2,68	5,23	1,29	0,147	2,38	0,385	0,387	d	$28 \pm 1$
II БР-2 + 70% раствор глицерина	2,3	5,12	1,51	0,172	1,99	0,448	0,45	d	$26,3 \pm 0,5$

# 1. Сечения неупругих взаимодействий

На основании закона аддитивности средние пробеги частиц при взаимодействии с ядрами эмульсии БР-2, БР-2, наполненной легкими ядрами, и наполнителя ( $\lambda_I$ ,  $\lambda_{II}$ ,  $\lambda$ ) связаны соотношением

$$\frac{1}{\lambda_{II}} = \frac{1}{\lambda} \frac{k-1}{k} + \frac{1}{\lambda_I} \cdot \frac{1}{k},$$

$$\frac{1}{\lambda} = \sigma_H n_H + \sigma_c n_c + \sigma_0 n_0,$$

где  $\sigma$  и  $n$  есть сечения и число ядер в  $1 \text{ см}^3$  наполнителя. Принимая согласно /13/  $\sigma_H = 100 \text{ мб}$ , используя закон А2/3 для связи сечений  $\sigma_c - \sigma_0$  и  $\sigma_{Br} - \sigma_{Ag}$  и данные табл. 1, мы получим сечения взаимодействия дейtronов и  $\alpha$ -частиц с ядрами кислорода и серебра. Они являются пока единственными экспериментальными результатами в этой области энергии и приведены в табл. 2, где помещены для сравнения сечения р-ядро и сечения, рассчитанные в /13/ для взаимодействия  $\alpha$ -частиц с энергией 4,2 ГэВ с ядрами кислорода и циркония.

Таблица 2

	$\sigma_P, \text{ мб}$	$\sigma_0, \text{ мб}$	$\sigma_{^{108}Ag}, \text{ мб}$	$\sigma_{^{90}Zr}, \text{ мб}$
P	42	290	1170	
d	70	$385 \pm 40$	$1500 \pm 70$	
$\alpha$	100	$500 \pm 30$	$1910 \pm 70$	
$\alpha^{13}/$		680		1660

## 2. Стриппинг дейтронов и фрагментация а - частиц

К ядерному стриппингу дейтронов с вылетом протонов были отнесены звезды, в которых только нейtron дейтрона испытывал неупругое взаимодействие. Они характеризуются узким угловым распределением протонов, обусловленным в основном фермиевским движением нуклонов в дейтроне. Импульсное распределение протонов имело максимум при половине импульса дейтрона. Вероятность стриппинга на всех ядрах эмульсии БР-2 была найдена равной  $W = 0,18 \pm 0,04$ .

Из табл.1 и 2 следует, что вероятность взаимодействия дейтрона с легкими ядрами - 0,26, в соответствии с этим среднее эффективное ядро имеет атомный вес  $\langle A \rangle = 72$  и сечение  $\langle \sigma \rangle = 1100 \pm 50$  мб, откуда получим:  $\langle \sigma_{\text{стр}} \rangle = 200 \pm 45$  мб.

Дифференциальные сечения стриппинга показаны на рис. 1.

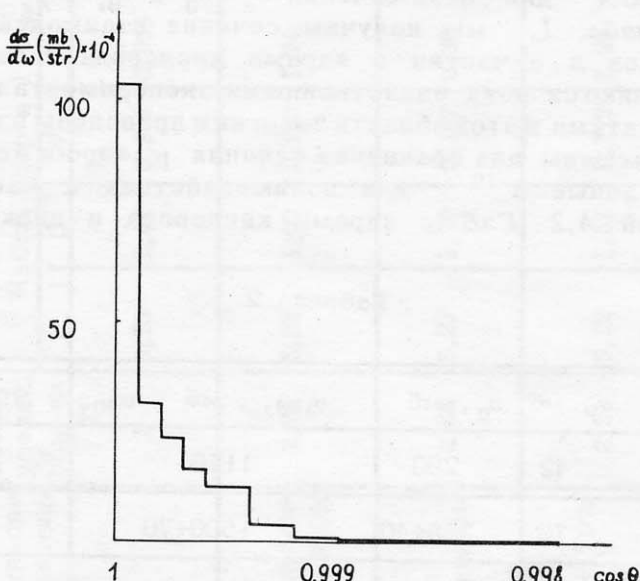


Рис. 1. Дифференциальное сечение стриппинга дейтронов.

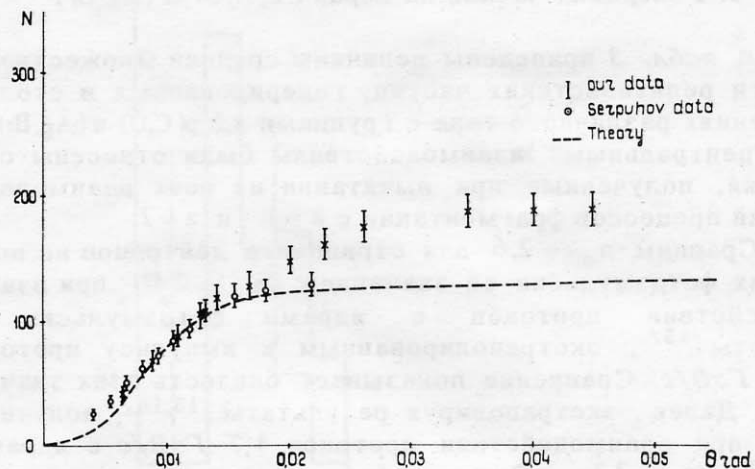


Рис. 2. Интегральное угловое распределение стриппинга.

На рис. 2 приведены интегральное угловое распределение стриппингадейtronов 9,4 ГэВ/с и для сравнения - распределение стриппинга антидейtronов 13,3 ГэВ/с на ядрах углерода по данным<sup>14</sup>, нормированные при угле 10,5 мрад, а также расчетная кривая. Несовпадение при больших углах, возможно, связано с перерассеянием протонов на более тяжелых ядрах.

События фрагментации  $\alpha$ -частиц с вылетом фрагментов под углами  $\theta \leq 3^\circ$  к первичному пучку разделяются по зарядам на две группы: с  $z=1$  и с  $z=2$ .

Импульсное распределение для фрагментов с  $z=1$  показывает, что вероятности вылета  $p$ ,  $d$  и  $T$  относятся, как 2 : 2 : 1. Сечения фрагментации  $_{\alpha}^{z=1}$  на группах ядер получены равными:  $\sigma^{z=1} (C, O) = 203 \pm 52$  мб;  $\sigma^{z=1} (Ag, Br) = 570 \pm 160$  мб.

Вылет частиц с  $z=2$ , т.е. фрагментация с образованием  $He^3$ , или же сохранение  $\alpha$ -частицы после неупругого взаимодействия происходят на группах ядер с сечениями  $\sigma^{z=2}$ , равными:  $\sigma^{z=2} (C, O) = 37 \pm 12$  мб;  $\sigma^{z=2} (Ag, Br) = 130 \pm 54$  мб.

### 3. Генерация частиц на ядрах (C, N, O) и (Ag, Br)

В табл. 3 приведены величины средней множественности релятивистских частиц, генерированных в столкновениях различного типа с группами ядер (C, O) и (Ag, Br). К "центральным" взаимодействиям были отнесены события, полученные при вычитании из всех взаимодействий процессов фрагментации с  $z=1$  и  $z=2$ .

Сравним  $\langle n_s \rangle = 2,6$  для стриппинга дейtronов на всех ядрах фотоэмulsionии со значением  $\langle n_s \rangle = 2,47$  при взаимодействии протонов с ядрами фотоэмulsionии из работы /15/, экстраполированным к импульсу протона  $4,7 \text{ ГэВ/с}$ . Сравнение показывает близость этих значений. Далее, экстраполируя результаты /15,16/, получим, что при взаимодействии протонов  $4,7 \text{ ГэВ/с}$  с ядрами Ag, Br  $\langle n_s \rangle = 2,7$ . Следовательно, сравнение с данными табл. 3 показывает, что  $\langle n_s \rangle$  для дейtronов и  $\alpha$ -частиц сильно отличается от ожидаемого при аддитивности взаимодействия с ядрами нуклонов налетающих частиц. В соответствии с этим можно оценить вероятность взаимодействия двух нуклонов дейтрана с ядрами Ag, Br, ко-

Таблица 3

Частица	Тип взаимод.	Мишень	$\langle n_s \rangle$
$d$	все	C, O	$2,57 \pm 0,31$
	все	Ag, Br	$3,31 \pm 0,30$
	стриппинг	все ядра	$2,6 \pm 0,10$
$d$	все	C, O	$3,90 \pm 0,13$
	все	Ag, Br	$4,81 \pm 0,08$
	фрагмент, $\chi = 1$	H, C, O	$3,55 \pm 0,10$
	- " - $\chi = 1$	Ag, Br	$3,94 \pm 0,06$
	- " - $\chi = 2$	H, C, O	$0,75 \pm 0,16$
	- " - $\chi = 2$	Ag, Br	$1,38 \pm 0,10$
	Центральные	C, O Ag, Br	$4,17 \pm 0,20$ $5,78 \pm 0,10$

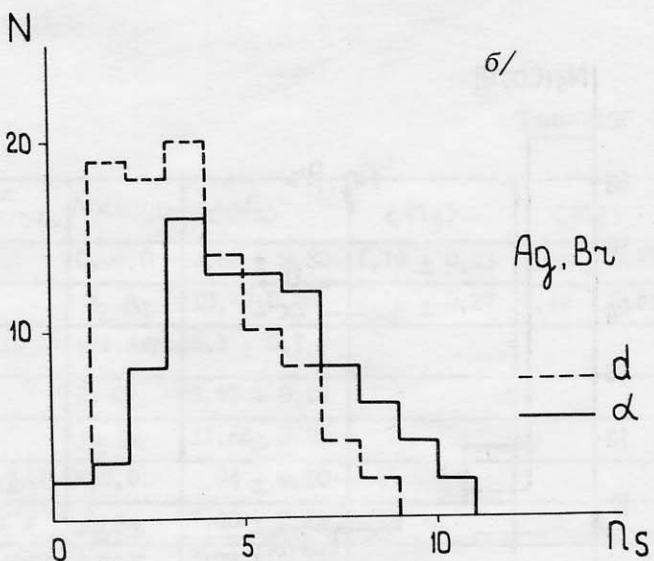
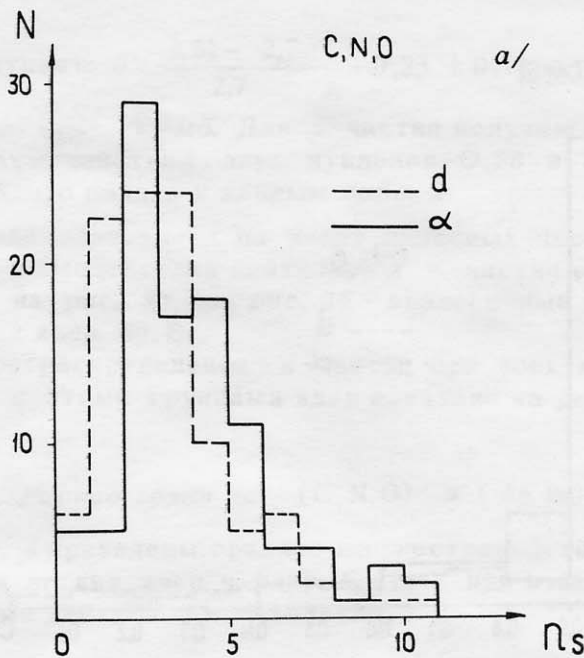
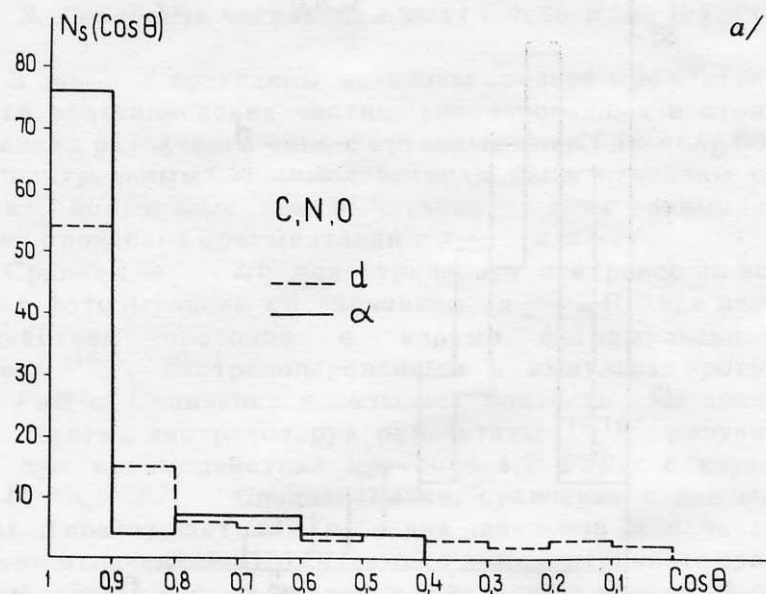


Рис. 3. Распределение  $s$ -частич от взаимодействия дейtronов и  $\alpha$ -частич с ядрами: *a/* C,N,O ; *б/* Ag,Br.

a/



б/

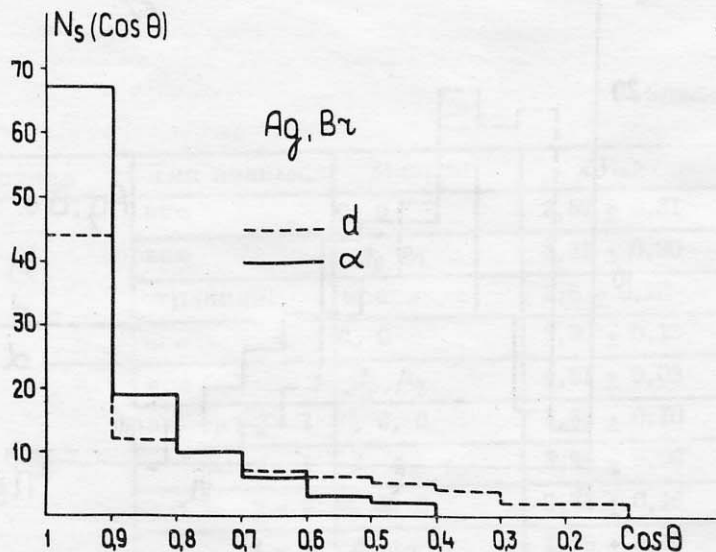


Рис. 4. Угловое распределение  $s$ -частич от взаимодействия дейtronов и  $\alpha$ -частич с ядрами: а/ C, N, O ; б/ Ag, Br .

торая составит:  $\omega = \frac{3,31 - 2,7}{2,7} = 0,23 \pm 0,13$ , а сечение  $\sigma_{Ag,d} = 1,23 \sigma_{Ag,p} = 1460 \text{ мб}$ . Для  $\alpha$ -частиц получим вероятность взаимодействия двух нуклонов  $\sim 0,78$  и сечение  $\approx 2050 \text{ мб}$ , что близко к данным табл. 2.

Распределение звезд по числу ливневых частиц  $n_s$  для всех взаимодействий дейтронов и  $\alpha$ -частиц с ядрами С, О дано на рис. 3а, на рис. 3б - аналогичные распределения для ядер Ag, Br.

Угловое распределение  $s$ -частиц при всех взаимодействиях с этими группами ядер показано на рис. 4а, б.

#### 4. Распад групп ядер (С, N, O) и (Ag, Br)

В табл. 4 приведены средние множественности частиц от распада легких ядер и ядер Ag, Br при взаимодействии с ними дейтронов и  $\alpha$ -частиц.

Таблица 4

Частица	Тип взаимод.	Мишень	$\langle \sqrt{s} \rangle$	$\langle n_g \rangle$	$\langle n_l \rangle$
$\alpha$	все	C, N, O	$3,88 \pm 0,30$	$1,19 \pm 0,23$	$2,69 \pm 0,21$
	все	Ag, Br	$10,49 \pm 0,60$	$2,12 \pm 0,27$	$7,42 \pm 0,51$
	стриппинг	все ядра	$5,1 \pm 0,1$		
$\alpha$	все	C, O	$2,97 \pm 0,13$		
	все	Ag, Br	$II, 66 \pm 0,26$		
	фрагм. $\chi=1$	H, C, O	$2,04 \pm 0,10$		
	- " -	Ag, Br	$7,40 \pm 0,19$		
	фрагм. $\chi=2$	H, C, O	$2,97 \pm 0,16$		
	- " -	Ag, Br	$4,51 \pm 0,29$		
	Центральные	H, C, O	$2,89 \pm 0,18$		
		Ag, Br	$15,32 \pm 0,35$		

Таблица 5

Ядра	Заряд			$\langle E_p \rangle$ , МэВ	$\langle E_\alpha \rangle$ , МэВ
	I	2	$\geq 3$		
C, N, O	$1,75 \pm 0,15$	$0,88 \pm 0,12$	$0,06$	8,2	28,5
Ag, Br	$5,27 \pm 0,3$	$2,75 \pm 0,22$	$0,35 \pm 0,1$	10,7	36,3

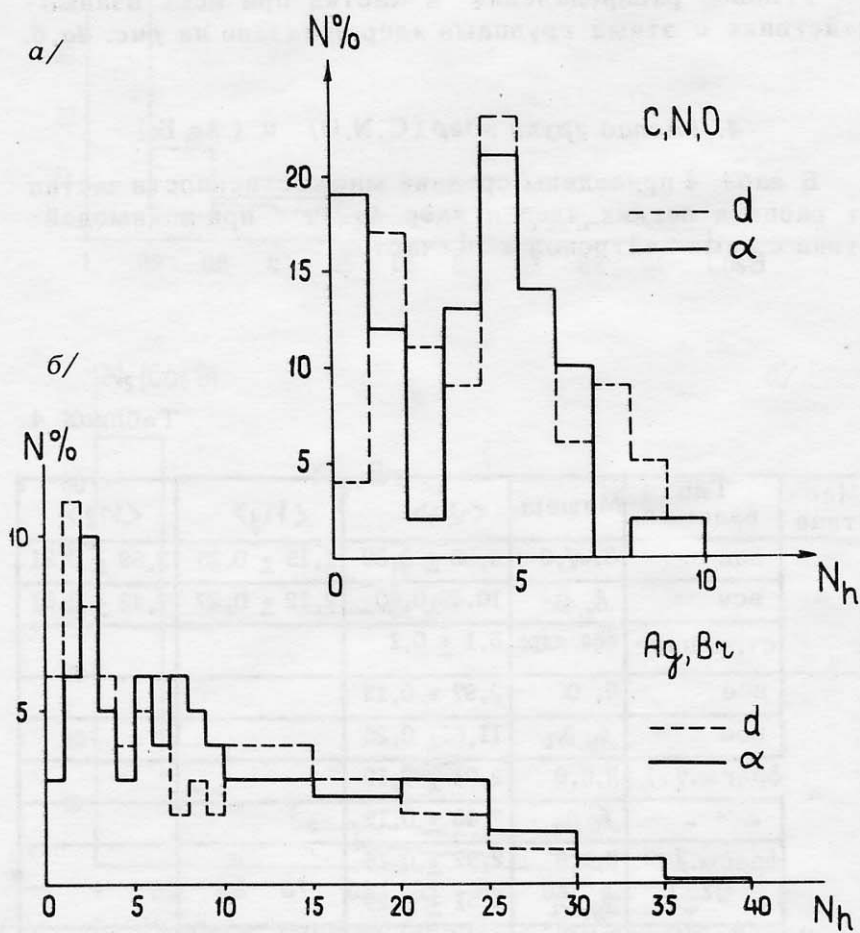


Рис. 5. Распределение звезд во взаимодействиях дейтеронов и  $\alpha$ -частиц с ядрами: а/ C, N, O; б/ Ag, Br.

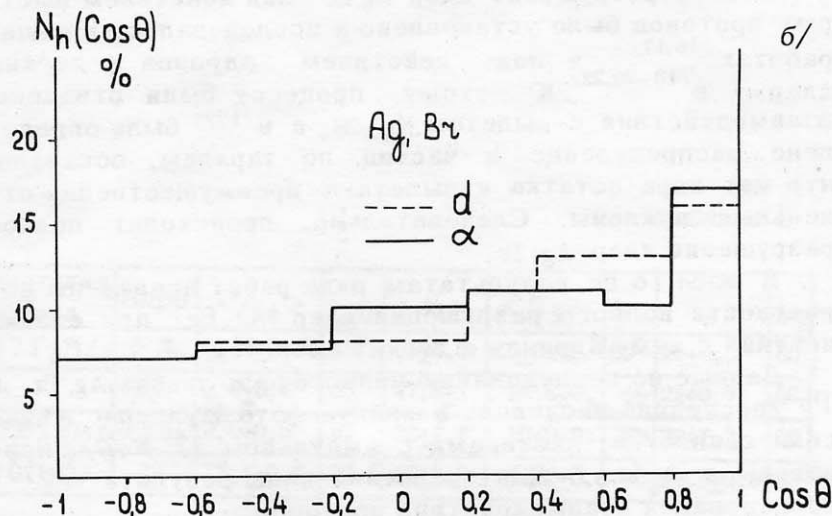
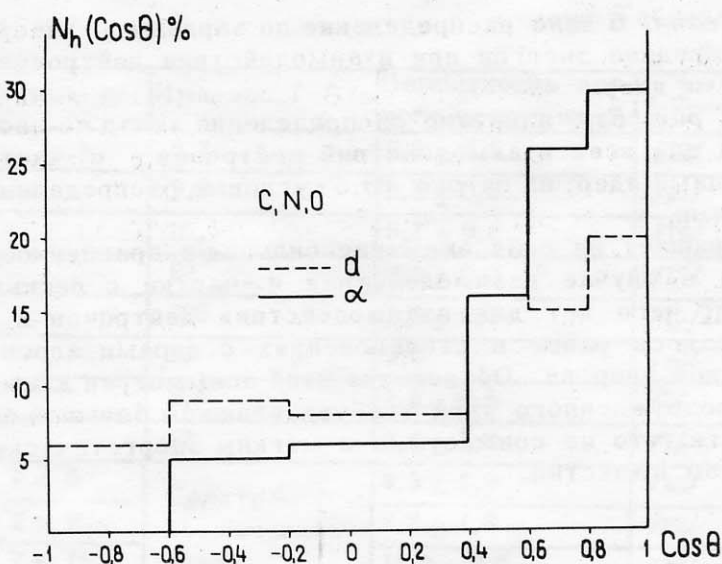


Рис. 6. Угловое распределение  $h$ -частич от взаимодействия дейтеронов и  $\alpha$ -частиц с ядрами: а/ C, N, O; б/ Ag, Br.

В табл. 5 дано распределение по зарядам  $b$ -частиц и их средние энергии при взаимодействии дейтронов с группами ядер.

На рис. 5а, б показано распределение звезд по числу частиц для всех взаимодействий дейтронов и  $\alpha$ -частиц с группами ядер, на рис. 6а, б - угловые распределения  $h$ -частиц.

Обращает на себя внимание сильная направленность вперед в случае взаимодействия  $\alpha$ -частиц с легкими ядрами, чего нет для взаимодействия дейтронов и не наблюдалось ранее в столкновениях с ядрами адронов различной энергии. Объяснение этой асимметрии движением возбужденного ядра требует слишком большой его скорости, что не совместимо с мягким энергетическим спектром  $b$ -частиц.

### 5. Полное разрушение ядер Ag, Br и Pb

Полное разрушение ядер Ag, Br под действием быстрых протонов было установлено и исследовалось в наших работах<sup>/16,17/</sup> и под действием адронов и легких ядер - в<sup>/18-20,22/</sup>. К этому процессу были отнесены взаимодействия с вылетом  $N_h \geq 28$ , а в<sup>/17/</sup> было определено распределение  $h$ -частиц по зарядам, показано, что нет ядра-остатка и вылетают преимущественно отдельные нуклоны. Следовательно, происходит полное разрушение ядер Ag, Br.

В табл. 6 по результатам ряда работ приведены вероятности полного разрушения ядер Ag, Br при столкновении с ними адронов и легких ядер.

Данные по исследованию полного разрушения Ag, Br и Pb /последние вводились в жидкую фотоэмulsionию в виде соли свинца/  $\alpha$ -частицами с импульсом 17 ГэВ/с приведены в табл. 7. Для сравнения даны результаты<sup>/17/</sup> исследования взаимодействий протонов.

На рис. 7 приведены угловые распределения  $g$ -частиц при полном разрушении ядер Ag, Br или Pb под действием  $\alpha$ -частиц, а также аналогичные распределения для всех взаимодействий протонов 9,6 ГэВ/с и дейтронов

Таблица 6

Частица	Импульс, ГэВ/с	Вероятность полного разрушен., %	Ссылки
P	6,2	$2,1 \pm 0,5$	/18/
--	9,6	$3,1 \pm 0,6$	/17/
--	22,5	$3,1 \pm 0,8$	/18/
--	69	$3,0 \pm 0,8$	/17/
--	200	$2,2 \pm 0,5$	см./22/
$\pi^-$	60	3,0	/20/
d	9,4	$2,5 \pm 0,5$	/3/
$\omega$	I7	$6,4 \pm 1,0$	/7/
$3 \leq \chi \leq 5$	Спектр космических лучей	$9,3 \pm 2,9$	/22/
$6 \leq \chi \leq 9$		$7,8 \pm 1,5$	/22/
$10 \leq \chi \leq 15$		$11,7 \pm 3,7$	/22/
$16 \leq \chi \leq 26$		$13,0 \pm 6,3$	/22/

Таблица 7

Падающая частица	Ядро	$\langle n_s \rangle$	$\theta_s, \frac{1}{\lambda}$	$\langle n_h \rangle$	$\langle n_g \rangle$	$\theta_g, \frac{1}{\lambda}$	$\langle n_e \rangle$	$\theta_e, \frac{1}{\lambda}$
d, 17 ГэВ/с	$Ag, Br$	$7,34 \pm 0,35$	$45^0$	$33 \pm 0,9$	$18 \pm 0,7$	$60^0$	$15 \pm 0,6$	$80^0$
--	$Pb$	$8,9 \pm 0,4$	53	$47,6 \pm 1,1$	$25,6 \pm 0,7$	66	$22 \pm 0,7$	86
P, 9,6 ГэВ/с	$Ag, Br$	$4,0 \pm 0,5$	53	$32 \pm 1,4$	$10 \pm 0,8$	63	$22 \pm 1,2$	85
P, 70 ГэВ/с	--	$17,1 \pm 0,8$	30,6	$30 \pm 1,2$	$14,2 \pm 0,8$	70	$15,8 \pm 0,5$	80

9,4 ГэВ/с с ядрами Ag, Br и при полном разрушении этих ядер протонами 70 ГэВ/с.

Из этих рисунков и величин  $\theta_{g,1/2}$  в табл. 7 следует различное постоянство углового распределения  $g$ -частиц в широком диапазоне энергии и массы налетающих частиц и массы ядер от легких до свинца.

В работе /23/ на основе каскадного механизма были объяснены результаты /17/ полного разрушения ядер Ag, Br протонами 70 ГэВ/с, когда в первом столкновении протона в ядре велика множественность генерированных частиц. Как следует из табл. 7, этого нет в случае  $\alpha$ -частиц. В работе /24/ и в ряде ей предшествовавших /см. ссылки в /24/ / рассматривается испускание частиц из предравновесного состояния.

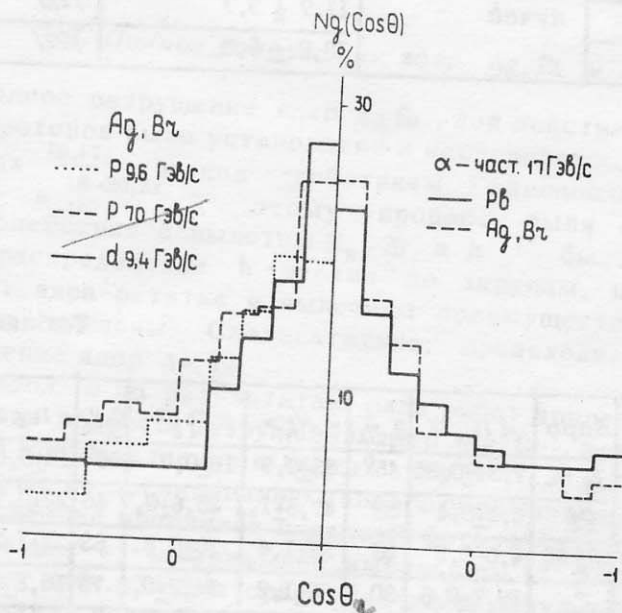


Рис. 7. Угловое распределение  $g$ -частиц при полном разрушении  $\alpha$ -частицами ядер Ag, Br и Pb; при взаимодействии с ядрами Ag, Br протонов с импульсом 9,6 ГэВ/с, дейtronов с импульсом 9,4 ГэВ/с и при полном разрушении ядер протонами с импульсом 70 ГэВ/с.

В работе<sup>/25/</sup> объяснение полного разрушения ядер было дано на основе модели ударной волны, образуемой в ядре адронным кластером, рожденным в первом центральном столкновении быстрого протона. Большое различие в величинах  $\langle n_s \rangle$  для протонов 6,2 ГэВ/с и 70 ГэВ/с и дейtronов 9,4 ГэВ/с или  $\alpha$ -частиц 17 ГэВ/с, с одной стороны, указывает на то, что процессы распада и полного разрушения ядер не обусловлены числом  $s$ -частиц; с другой стороны, рождение адронного кластера не ожидается для  $\alpha$ -частиц с такой энергией. Однако модель ударной волны впервые была рассмотрена в<sup>/26/</sup> для самой падающей быстрой частицы. Она предполагает вылет частиц в направлении нормали к фронту волны. Угол этой нормали с вектором скорости  $v$  падающей частицы  $\theta$  есть  $\arccos a/v$ , где  $a$  - скорость звука, т.е. скорость, с которой распространяется в ядре возмущение плотности. По оценкам<sup>/26/</sup>,  $a \approx (0,15 \pm 0,3)$  С, следовательно,  $\theta \approx 70^\circ$ . Фермиевское движение нуклонов в ядре сильно изменяет их углы вылета, т.к. скорость этого движения сравнима со скоростью звука  $-a$ . Передний фронт ударной волны с уплотнением ядерной материи движется со скоростью налетающей частицы, и, следовательно, существует переходная область со скоростями  $u$  в диапазоне  $a < u < v$ . Это, возможно, обуславливает вылет  $g$ -частиц с различными углами и скоростями.

Дальнейшие эксперименты и анализ данных в сопоставлении с адрон-ядерными столкновениями позволят продвинуться в выяснении сложных вопросов взаимодействия ядер при высокой энергии.

### Литература

1. М.И.Адамович, Н.Далхажав, В.Г.Ларионова и др. Сообщение ОИЯИ, Р1-6386, Дубна, 1972.
2. Н.П.Богачев, К.Д.Толстов, Г.С.Шабратова и др. Сообщение ОИЯИ, Р1-6877, Дубна, 1972.
3. J.A.Galstyan, F.G.Lepikhin, B.B.Simonov et al. Nucl. Phys., A208, 626 (1973).
4. Х.М.Абдо, Н.Далхажав, Дж.А.Саломов и др. Сообщение ОИЯИ, Р1-7217, Дубна, 1973.

5. K.M. Abdo, N.Dalkhazhav, R.A. Khoshmukhamedov et al. Inelastic Inter. of Relativistic Deutrons and  $\alpha$ -Particles with Nuclei. Int. Conf. Ax-en-Provance, 1973.
6. N.Dalkhazhav, G.S. Shabratova, K.D. Tolstov et al. Nucl. Phys., A222 (1974).
7. К.Д. Толстов и др. Сообщение ОИЯИ, Р1-8313, Дубна, 1974.
8. И. Рафиев и др. Сообщение ОИЯИ, Р1-8926, Дубна, 1975.
9. О. Ахроров и др. Сообщение ОИЯИ, Б1-1-8927, Дубна, 1975.
10. А.М. Балдин. Сообщение ОИЯИ, Р7-5808, Дубна, 1971.
11. А.М. Балдин и др. Сообщение ОИЯИ, Р1-5819, Дубна, 1971;
12. А.М. Балдин, В.К. Бондаренко, Н. Гиордэнеску и др. Сообщение ОИЯИ, 1-8249, Дубна, 1974; A.M. Baldin et al. Particles and Fields Am. Inst. of Phys. (1971).
13. S. Barshay et al. Phys. Rev., C, v. 11, 2, p. 360 (1975).
14. И.П. Горин, С.П. Денисов и др. ЯФ, 13, 344 /1971/.
15. H. Winzeler. Nuovo Cimento, 27, 6 (1963).
16. В.С. Барашенков, В.А. Беляков, Ван-Шу-фень. Принт ОИЯИ, Р-331, Дубна, 1959.
17. К.Д. Толстов, Р.А. Хошмухамедов. Сообщение ОИЯИ, Р1-6897, Дубна, 1973.
18. H. Winzeler. Nucl. Phys., 69, 661 (1965).
19. R. Kaczarowski and E. Makowska. Nucl. Phys., 74, 348 (1965).
20. Ю.Ф. Гагарин, Н.С. Иванова. Изв. АН СССР, 38, 988 /1974/.
21. B. Anderson, J. Otterlund, K. Kristiansson. Arkiv Fisik, 31, 527 (1966).
22. B. Jakobsson, R. Kulberg, J. Otterlund. Pion and Proton Emission in Inter. Induced by Relativistic Heavy Nuclei with  $Z > 12$ .
23. В.Д. Тонеев, С.Е. Чигринов. Сообщение ОИЯИ, Р4-7479, Дубна, 1973.
24. К.К. Гудима, Г.А. Осоксов, В.Д. Тонеев. ЯФ, 21, 260 /1975/.
25. Е.Н. Калинкин, В.Л. Шмонин. Сообщение ОИЯИ, Р2-7871, Дубна, 1974.
26. A.E. Glassgold, W. Heckrotte, K. Watson. Annals of Phys., v. 6, 1 (1959).

Рукопись поступила в издательский отдел  
11 ноября 1975 года.